

ارتعاش آزاد تیرهای مدرج هدفمند بر بستر ارجاعی دو پارامتری با استفاده از روش دیفرانسیل کوادریچر

افشین خلیلی (کارشناس ارشد)

علیرضا وزوقی^{*} (دانشیار)

محمد رضا بنان (دانشیار)

محمد رضا بنان (استاد)

بخش هندسی را، ساختمان و محیط زیست، دانشکده هندسی، دانشگاه شیراز

تیرهای قوارگرفته بر بسترهای ارجاعی، یک مدل پر کاربرد در تحلیل و بررسی سازه‌های مهندسی هستند. در دهه‌های اخیر به دلیل داشتن مقاومت بالا در برابر حرارت، جذب انرژی و وزن سبک، مطالعاتی در رابطه با مواد نوین همچون مواد مدرج هدفمند انجام شده است. خواص مکانیکی مواد مدرج هدفمند به صورت پیوسته از یک سطح به سطح دیگر و از فاز به سرامیک تغییر می‌کند. در نوشتار حاضر، برای اولین بار معادلات حاکم بر ارتعاش آزاد تیرهای مدرج هدفمند بر بستر ارجاعی دو پارامتری شامل فنر خطی و لایه‌ی برشی با استفاده از نظریه‌ی برشی مرتبه‌ی اول به دست آمده و با بهکارگیری روش دیفرانسیل کوادریچر تجزیه شده‌اند. با تجزیه‌ی شرایط مرزی با روش دیفرانسیل کوادریچر، اثر شرایط مذکور در معادلات حاکم تجزیه شده بررسی و دستگاه معادلات به دست آمده به حوزه‌ی بسامد منتقل و بسامد مسئله تعیین شده است. تأثیر شرایط مرزی، پارامترهای بستر ارجاعی، نسبت طول به ضخامت، و ضریب کسر حجمی از موارد بررسی شده در نوشتار حاضر است.

khaliliafshin@yahoo.com
vosoughi@shirazu.ac.ir
bananm@shirazu.ac.ir
banan@shirazu.ac.ir

وازگان کلیدی: تیرهای مدرج هدفمند، ارتعاش آزاد، نظریه برشی مرتبه‌ی اول، روش دیفرانسیل کوادریچر.

۱. مقدمه

لاگرانج، ارتعاش تیرهای مدرج هدفمند را بررسی کرده‌اند. پرادهان و چاکلورتی^۲ (۲۰۱۳)،^[۱] نیز با به کارگیری نظریه‌ی برشی مرتبه‌ی بالا، ارتعاش آزاد تیر مدرج هدفمند را بررسی و جهت حل معادلات حاکم از روش ریلی - ریتز استفاده کرده‌اند. هدفمند را بررسی و جهت حل معادلات حاکم از روش ریلی - ریتز استفاده کرده‌اند. سو و بانرجی^۳ (۲۰۱۵)،^[۲] با توسعه‌ی روش سختی دینامیکی به بررسی ارتعاش آزاد تیرهای مدرج هدفمند با استفاده از نظریه‌ی تیموشنسکو پرداخته‌اند. همچنین لو^۴ و همکارانش (۲۰۰۸)،^[۵] با ارائه‌ی یک روش نیمه تحلیلی، ارتعاش آزاد تیرهای مدرج هدفمند دو بعدی را بررسی کرده‌اند. سینا و همکارانش (۲۰۰۹)،^[۶] هم یک روش تحلیلی برای یافتن بسامد طبیعی تیرهای مدرج هدفمند بر پایه‌ی نظریه‌ی برشی مرتبه‌ی اول ارائه کرده‌اند. واتناساکولیونگ^۵ و همکارانش (۲۰۱۲)،^[۷] نیز در بررسی ارتعاش آزاد تیرهای مدرج هدفمند با استفاده از نظریه‌ی برشی مرتبه‌ی بالا، به حل معادلات با روش ریتز پرداخته‌اند.

همچنین در زمینه‌ی بررسی ارتعاش آزاد تیرهای مدرج هدفمند واقع بر بستر ارجاعی، فقط یک پژوهش توسط ینگ^۶ و همکارانش (۲۰۰۸)،^[۸] انجام شده است. که جهت بررسی مسئله از نظریه‌ی کشسانی دو بعدی استفاده کرده و با بهکارگیری

مواد مدرج هدفمند برای اولین بار در سال ۱۹۸۴ در زبان به منظور ترکیب کردن فلن به همراه مقاومت در برابر دمای بالای سرامیک ساخته شده‌اند. مواد مدرج هدفمند به عنوان مواد مقاوم در برابر حرارت برای پوشش شاتل‌های فضایی، راکتورهای هسته‌یی، ریل‌ها، و ...، که در معرض درجه حرارت بالا هستند، استفاده می‌شوند. بنابراین استفاده‌ی روزافزون از سازه‌های ساخته شده از مواد مدرج هدفمند، همچون تیرهای مدرج هدفمند در صنایع مدرن مختلف، بررسی رفتار آنها را حائز اهمیت ویژه‌یی ساخته است.^[۱۶-۱] و به تبع آن پژوهش‌گران بسیاری به ارائه راه حل‌های مختلفی جهت تحلیل رفتار دینامیکی تیرهای هدفمند مدرج پرداخته‌اند، که در ادامه به بررسی پژوهش‌های انجام شده‌ی در دسترس، که اخیراً در این زمینه چاپ شده‌اند، پرداخته شده است.

سیمسک و کوکاترک (۲۰۰۹)،^[۱] با استفاده از نظریه‌ی اویلر - برنویل و روش

* نویسنده مسئول

تاریخ: دریافت ۱۲، ۱۳۹۷/۲، /صلاحیه ۹، ۱۳۹۷/۵/۹، پذیرش ۱۳۹۷/۵/۱۳.

DOI:10.24200/J30.2018.50883.2351

$$v(z) = v_m + (v_c - v_m) \left(\frac{2z + h}{2h} \right)^n \quad (3 - \text{ب})$$

$$\rho(z) = \rho_m + (\rho_c - \rho_m) \left(\frac{2z + h}{2h} \right)^n \quad (3 - \text{ج})$$

با استفاده از نظریه‌ی برشی مرتبه‌ی اول (تیر تیموشنسکو)، جابه‌جایی طولی u و عرضی w یک نقطه‌ی دلخواه از تیر با فرض تغییر شکل‌های کوچک را می‌توان به صورت رابطه‌ی ۴ (الف و ب) بیان کرد:

$$U(x, z, t) = u(x, t) + z\varphi^x(x, t) \quad (4 - \text{الف})$$

$$W(x, z, t) = w(x, t) \quad (4 - \text{ب})$$

که در آن‌ها، U و W به ترتیب مؤلفه‌های جابه‌جایی طولی و عرضی هر نقطه‌ی دلخواه با مختصات (x, z) در زمان از تیر مدرج هدفمند است. همچنین u و w به ترتیب جابه‌جایی هر نقطه‌ی دلخواه واقع بر محور میانی تیر مدرج هدفمند در امتداد جهت x و z در زمان t هستند. φ نیز چرخش مقطع تیر عمود بر صفحه‌ی حول محور y در زمان t است.

با توجه به مؤلفه‌های جابه‌جایی در رابطه‌ی اخیر می‌توان روابط کرنش و جابه‌جایی را به صورت رابطه‌ی ۵ (الف و ب) نوشت:

$$\varepsilon_{xx} = \frac{\partial u}{\partial x} + z \frac{\partial \varphi^x}{\partial x} \quad (5 - \text{الف})$$

$$\gamma_{xz} = \varphi^x + \frac{\partial w}{\partial x} \quad (5 - \text{ب})$$

که در آن ε_{xx} کرنش در عومودی در راستای طولی تیر و γ_{xz} کرنش برشی است. همچنین رابطه‌ی تنش و کرنش به صورت رابطه‌ی ۶ (الف و ب) است:

$$\sigma_{xx} = Q(z)\varepsilon_{xx} \quad (6 - \text{الف})$$

$$\sigma_{xz} = \frac{1 - v(z)}{2} \kappa Q(z) \gamma_{xz} \quad (6 - \text{ب})$$

که در آن σ_{xx} تنش عومودی در راستای طولی و σ_{xz} تنش برشی است. κ ضریب تصحیح برشی است که با توجه به فرضیات نظریه‌ی برشی مرتبه‌ی اول و به دلیل عدم یکساختی کرنش و تنش در ضخامت تیر با مقطع مستطیلی عموماً مساوی $\frac{1}{6}$ لحاظ می‌شود. ($Q(z)$ به صورت رابطه‌ی ۷ تعریف می‌شود):

$$Q(z) = \frac{E(z)}{1 - v(z)} \quad (7)$$

با به کارگیری اصل هامیلتون، معادله‌ی حرکت تیر مدرج هدفمند واقع بر بستر ارجاعی با استفاده از روابط تنش کرنش و صرف نظر کردن از نیروی محوری به صورت رابطه‌ی ۸ (الف، ب و ج) خواهد بود:

$$A_{11} \left(\frac{\partial^t u}{\partial x^t} \right) + B_{11} \frac{\partial^t \varphi^x}{\partial x^t} = 0 \quad (8 - \text{الف})$$

$$A_{55} \left(\frac{\partial \varphi^x}{\partial x} + \frac{\partial^t w}{\partial x^t} \right) + k_1 w - k_g \frac{\partial^t w}{\partial x^t} = I_1 \frac{\partial^t w}{\partial t^t} \quad (8 - \text{ب})$$

$$B_{11} \frac{\partial^t u}{\partial x^t} + D_{11} \frac{\partial^t \varphi^x}{\partial x^t} - A_{55} \left(\frac{\partial w}{\partial x} + \varphi^x \right) = I_2 \frac{\partial^t \varphi^x}{\partial t^t} \quad (8 - \text{ج})$$

که در آن‌ها، k_1 و k_g به ترتیب پارامترهای مربوط به بستر ارجاعی خطی و لایه‌ی برشی هستند، که در پژوهش حاضر جهت یافتن نتایج عددی به صورت رابطه‌ی ۹ (الف و ب) بی‌بعد شده‌اند:

$$K_1 = \frac{k_1 E I}{L^4} \quad (9 - \text{الف})$$

$$K_g = \frac{k_g E I}{L^4} \quad (9 - \text{ب})$$

سری‌ها، معادلات مربوط را به صورت تحلیلی برای تیر دوسر ساده حل و بسامد را به دست آورده‌اند.

با توجه به بررسی‌های انجام شده، در نوشتار حاضر برای اولین بار معادلات حاکم جهت تعیین بسامد طبیعی تیرهای مدرج هدفمند بر بستر ارجاعی دوباره امتیزی با استفاده از نظریه‌ی برشی مرتبه‌ی اول (تئوری تیموشنسکو) به دست آمده و با استفاده از روش عددی کارا و دقیق دیفرانسیل کوادریچر، معادلات حاکم و شرایط مرزی تجزیه شده و سپس با انتقال دستگاه معادلات از حوزه‌ی زمان به حوزه‌ی بسامد، بسامدهای تیر به دست آمده‌اند. همچنین تأثیر پارامترهای مختلف، همچون اثر بستر ارجاعی در بسامد تیر مدرج هدفمند مطالعه شده است.

۲. بیان مسئله و معادلات حاکم

در شکل ۱، تیر مدرج هدفمند واقع بر بستر ارجاعی دو پارامتری نشان داده شده است.

که در آن، L طول و h و ضخامت تیر است، که بر بستر ارجاعی دو پارامتری شامل لایه‌ی خطی و لایه‌ی برشی قرار گرفته است. تیر به صورت اوروقتوپیک در نظر گرفته شده و در جهت ضخامت تیر، توزیع خواص ماده به صورت نمایی از فلز در یک وجه به سرامیک در وجه دیگر تغییر می‌کند. در حالت کالی، خصوصیات مواد مدرج هدفمند، که از دو فاز فلز و سرامیک تشکیل شده است، را می‌توان با در نظر گرفتن رابطه‌ی ۱ عنوان کرد:^[۹]

$$P = P_m V_m + P_c V_c \quad (1)$$

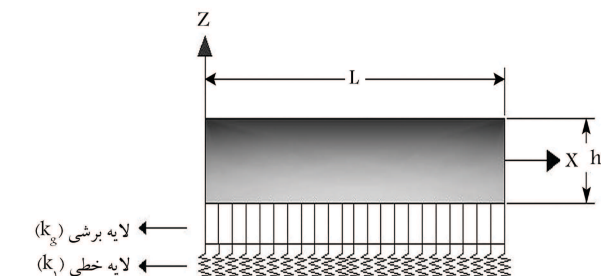
که در آن، P و V به ترتیب نشان‌دهنده‌ی خصوصیات ماده و میزان حجم در فازهای مختلف ماده هستند. m و c نیز به ترتیب بیان‌گر فازهای فلز و سرامیک ماده‌ی موردنظر هستند. حجم ماده در مواد مدرج هدفمند را می‌توان به صورت رابطه‌ی ۲ نوشت:^[۹]

$$V_c = \left(\frac{2z + h}{2h} \right)^n, V_m = 1 - \left(\frac{2z + h}{2h} \right)^n \quad (2)$$

که در آن، n ضریب کسر حجمی است.

با جایگزینی رابطه‌ی ۲ در رابطه‌ی ۱، می‌توان مدول یانگ (E)، ضریب پواسون (ν) و چگالی (ρ) تیر مدرج هدفمند را به صورت رابطه‌ی ۳ (الف، ب و ج) به دست آورد:

$$E(z) = E_m + (E_c - E_m) \left(\frac{2z + h}{2h} \right)^n \quad (3 - \text{الف})$$



شکل ۱. هندسه‌ی تیر مدرج هدفمند بر روی بستر ارجاعی.

همچنین جهت تولید گره‌ها می‌توان از توزیع کسینوسی در رابطه‌ی ۱۵ استفاده کرد:

$$\frac{x_i}{L} = \frac{1}{2} \left\{ 1 - \cos \left[\frac{(i-1)\pi}{(N_x-1)} \right] \right\}; \quad i = 1, 2, \dots, N_x \quad (15)$$

با استفاده از روابط مذکور می‌توان معادلات حاکم بر تیر مدرج هدفمند بر روی بستر ارجاعی را در دامنه‌ی مکان در هر نقطه‌ی i دامنه، که $i = 2, \dots, N_x$ و $N'_x = N_x - 1$ است، راجزیه کرد. فرم تجزیه شده‌ی روابط مذکور به صورت رابطه‌ی ۱۶ (الف، ب و ج) است:

$$A_{11} \left(\sum_{m=1}^{N'_x} B_{im}^x u_m \right) + B_{11} \left(\sum_{m=1}^{N'_x} B_{im}^x \phi_m^x \right) = 0 \quad (16\text{-الف})$$

$$A_{55} \left(\sum_{m=1}^{N'_x} A_{im}^x \varphi_m^x \right) + \sum_{m=1}^{N'_x} B_{im}^x w_m + k_w - k_g \sum_{m=1}^{N'_x} B_{im}^x w_m = I_r \frac{\partial^r w}{\partial t^r} \quad (16\text{-ب})$$

$$B_{11} \sum_{m=1}^{N'_x} B_{im}^x u_m + D_{11} \left(\sum_{m=1}^{N'_x} B_{im}^x \varphi_m^x \right) - A_{55} \left(\sum_{m=1}^{N'_x} A_{im}^x w \varphi_m^x \right) = I_r \frac{\partial^r \varphi_x}{\partial t^r} \quad (16\text{-ج})$$

فرم تجزیه شده‌ی شرایط مرزی نیز به صورت رابطه‌ی ۱۷ (الف و ب) است:

$$u_i = 0, w_i = 0, D_{11} \sum_{i=m}^{N_x} A_{im}^x \varphi_m^x = 0, i = N_x, i = 1 \quad (17\text{-الف})$$

$$u_i = 0, w_i = 0, \varphi_m^x = 0, i = N_x, i = 1 \quad (17\text{-ب})$$

که در روابط اخیر، (۱۷ الف) و (۱۷ ب) در $x = 0$ و $x = N_x$ در $i = 1$ است.

بعد از انتقال دادن فرم تجزیه شده‌ی معادله‌ها از دامنه‌ی زمان به دامنه‌ی بسامد،

فرم ماتریسی معادله‌ها با در نظر گرفتن شرایط مرزی، می‌تواند به صورت رابطه‌ی ۱۸ نوشته شود:

$$\begin{pmatrix} [K_{ww}] & [K_{wU}] \\ [K_{Uw}] & [K_{UU}] \end{pmatrix} - \omega^r \begin{pmatrix} [M_{ww}] & [0] \\ [0] & [M_{UU}] \end{pmatrix} \begin{Bmatrix} \{w\} \\ \{U\} \end{Bmatrix} = \{0\} \quad (18)$$

که در آن، $[U]$ بردار درجه‌های آزادی $[K_{ij}]$ با، $[K_{ij}]$ با $(i, j = u, w)$ ماتریس سختی و $[M_{ij}]$ با $(i, j = u, w)$ ماتریس جرم است.

همچنین در رابطه‌ی اخیر، w بسامد طبیعی تیر مدرج هدفمند واقع بر بستر ارجاعی دو پارامتری است، که با حل معادله‌ی مشخصه‌ی مذکور به دست می‌آید.

۴. نتایج عددی

ابتدا به منظور بررسی صحت نتایج به دست آمده، نتایج پژوهش حاضر با دیگر نتایج موجود در دسترس مقایسه و بررسی شده است. همگرایی و دقت روش حل

و مؤلفه‌های سختی، جابه‌جایی و برآیند نیروهای درون صفحه به صورت رابطه‌ی ۱۰ (الف، ب و ج) تعریف می‌شوند:

$$(A_{11}, B_{11}, D_{11}) = \int_{-\frac{h}{4}}^{\frac{h}{4}} Q(z) \left(1, z, z^2 \right) dz \quad (10\text{-الف})$$

$$A_{55} = \int_{-\frac{h}{4}}^{\frac{h}{4}} \kappa \frac{\partial E(z)}{1 + \nu(z)} dz \quad (10\text{-ب})$$

$$I_i = \int_{-\frac{h}{4}}^{\frac{h}{4}} \rho(z) \left(1, z^2 \right) dz, i = 0, 2 \quad (10\text{-ج})$$

شرایط تکیه‌گاهی مربوط به تیر مدرج هدفمند مورد بررسی را می‌توان به صورت رابطه‌ی ۱۱ (الف و ب) در نظر گرفت:

تکیه‌گاه ساده:

$$u = 0, w = 0, M_{xx} = 0 \quad (11\text{-الف})$$

که در آن $M_{xx} = D_{11} \frac{\partial \varphi_x}{\partial x}$ تکیه‌گاه گیردار:

$$u = 0, w = 0, \varphi^x = 0 \quad (11\text{-ب})$$

۳. حل معادلات حاکم با استفاده از روش دیفرانسیل کوادریچر

ایده‌ی اساسی مورد استفاده در روش دیفرانسیل کوادریچر، تبدیل مشتق توابع به متغیر مکانی در نقطه‌ی موردنظر است. این عمل با جمع جبری تقریب تابع در نقاط روی دامنه با توجه به متغیرها انجام می‌شود. به عنوان مثال، تابع $f(x)$ به گونه‌ی $\leq x \leq L$ باشد، را در نقاط مختلف دامنه مقدیر مجھول مربوط به جابه‌جایی u ، w و φ^x را در نقاط مختلف دامنه موردنظر به دست آوریم. با استفاده از روش دیفرانسیل کوادریچر، مشتق مرتبه‌ی r ام تابع f نسبت به x نقطه‌ی مخصوص به صورت رابطه‌ی ۱۲ تخمین زده می‌شود:

$$\frac{\partial^r f(x_i)}{\partial x^r} = \sum_{j=1}^{N_x} A_{ij}^{(r)} f(x_j) = \sum_{j=1}^{N_x} A_{ij}^{(r)} f_j, \quad i = 1, 2, \dots, N_x \quad (12)$$

که در آن N_x ، عدد نقاط در راستای طول تیر موردنظر است.

معادله‌های اخیر بیان‌گر آن است که نکته‌ی مهم در روش دیفرانسیل کوادریچر، تعیین ضرایب وزن و انتخاب نقاط نمونه است. به منظور تعیین ضرایب وزن با استفاده از چندجمله‌ی لاگرانژ ضریب وزن مشتق اول در جهت x به صورت رابطه‌ی ۱۳ خواهد بود:

$$A_{ij}^x = \frac{1}{L} \begin{cases} \frac{M(x_i)}{(x_i - x_j)M(x_j)} & \text{for } i \neq j \\ - \sum_{\substack{j=1 \\ i \neq j}}^{N_x} A_{ij}^x & \text{for } i = j \end{cases}; \quad (13)$$

که در آن، $M(x_i) = \prod_{j=1, j \neq i}^{N_x} (x_i - x_j)$ است.

همچنین ضرایب وزن برای مشتق مرتبه‌ی دوم مطابق رابطه‌ی ۱۴ محاسبه می‌شوند:

$$[B_{ij}^x] = [A_{ij}^x][A_{ij}^x]^T = [A_{ij}^x]^2 \quad (14)$$

جدول ۳. بسامد بی بعد شده تیر مدرج هدفمند دو سر ساده به ازاء پارامترهای مختلف بستر ارجاعی و نسبت طول به ضخامت ($n = 1$).

L/h			K_g	K_1
۱۰۰	۵۰	۱۰		
۴,۰۶۹۲	۴,۰۶۷۱	۴,۰۰۲۶	۰	۰
۵,۷۸۱۶	۵,۷۷۹۸	۵,۷۲۲۶	۱۰	
۱۳,۶۱۰۴	۱۳,۶۰۸۲	۱۳,۵۴۲۸	۱۰۲	
۵,۸۰۰۸	۵,۷۹۹۰	۵,۷۴۲۹	۰	۱۰۲
۷,۱۰۷۶	۷,۱۰۵۸	۷,۰۵۱۲	۱۰	
۱۴,۲۲۴۴	۱۴,۲۲۲۲	۱۴,۱۵۵۱	۱۰۲	
۴۱,۵۴۳۱	۴۱,۵۳۶۰	۴۱,۳۷۳۱	۰	۱۰۴
۴۱,۷۴۳۸	۴۱,۷۳۸۵	۴۱,۵۷۴۹	۱۰	
۴۱,۵۲۴۳	۴۱,۵۱۸۸	۴۱,۳۴۸۲	۱۰۲	

جدول ۴. بسامد بی بعد شده تیر مدرج هدفمند یک سرگیردار و یک سر ساده به ازاء پارامترهای مختلف بستر ارجاعی و نسبت طول به ضخامت ($n = 1$).

L/h			K_g	K_1
۱۰۰	۵۰	۱۰		
۶,۲۹۸۲	۶,۲۹۰۷	۶,۰۶۵۱	۰	۰
۷,۶۹۲۵	۷,۶۸۵۲	۷,۴۶۷۳	۱۰	
۱۵,۰۸۴۴	۱۵,۰۷۳۰	۱۴,۷۶۵۹	۱۰۲	
۷,۵۳۲۸	۷,۵۲۷۳	۷,۳۳۰۳	۰	۱۰۲
۸,۷۳۳۰	۸,۷۲۶۳	۸,۵۲۷۲	۱۰	
۱۵,۶۴۰۶	۱۵,۶۲۹۵	۱۵,۳۲۹۵	۱۰۲	
۴۱,۸۱۸۲	۴۱,۸۱۱۳	۴۱,۶۰۷۲	۰	۱۰۴
۴۲,۰۵۰۸	۴۲,۰۴۳۸	۴۱,۸۳۸۷	۱۰	
۴۴,۰۰۷۳	۴۳,۹۹۸۳	۴۳,۷۴۸۹	۱۰۲	

جدول ۵. بسامد بی بعد شده تیر مدرج هدفمند دو سرگیردار به ازاء پارامترهای مختلف بستر ارجاعی و نسبت‌های طول به ضخامت ($n = 1$).

L/h			K_g	K_1
۱۰۰	۵۰	۱۰		
۹,۱۱۹۷	۹,۱۰۱۰	۸,۵۶۰۷	۰	۰
۱۰,۲۰۰۹	۱۰,۱۸۲۴	۹,۶۵۱۵	۱۰	
۱۶,۸۶۳۷	۱۶,۸۴۱۷	۱۶,۱۸۰۹	۱۰۲	
۱۰,۰۱۳۰	۹,۹۹۵۷	۹,۴۹۹۶	۰	۱۰۲
۱۱,۰۰۶۸	۱۰,۹۸۹۴	۱۰,۴۹۳۳	۱۰	
۱۷,۳۶۶۵	۱۷,۳۴۱۵	۱۶,۶۹۱۷	۱۰۲	
۴۲,۲۳۵۰	۴۲,۳۲۴۹	۴۲,۰۵۲۸	۰	۱۰۲
۴۲,۵۸۱۱	۴۲,۵۷۰۶	۴۲,۲۹۲۰	۱۰	
۴۴,۶۴۹۸	۴۴,۶۳۴۷	۴۴,۲۵۸۲	۱۰۲	

مسئله در جدول ۱ بررسی شده است، که در آن چگالی و مدول کشسانی ماده در وجه بالایی تیر 10° برای وجه پایینی در نظر گرفته شده است.

مطابق نتایج به دست آمده از جدول ۱ مشخص است که به ازاء مقادیر مختلف لایه‌ی برشی بستر ارجاعی، با افزایش تعداد نقاط مورد استفاده، روش ذکر شده با تغییر بسیار اندک به جواب همگرا شده است. همچنین نتایج به دست آمده با نظریه‌ی دوبعدی مورد استفاده در پژوهش ینگ و همکاران [۸]، هموارانی بسیار خوبی دارد و با توجه به نظریه‌ی دوبعدی مورد استفاده در پژوهش آنها، جواب‌های به دست آمده از روش دیفرانسیل کوادریچر کمی بالاتر است و این موضوع می‌تواند صحت نتایج و دقت روش مورد استفاده در پژوهش حاضر را نشان دهد. آنها با استفاده از سری‌ها، یک روش تحلیلی برای به دست آوردن بسامد تیر دو سر ساده ارائه کردند. همچنین همگرایی و پابدازی روش دیفرانسیل کوادریچر در سایر پژوهش‌ها نیز مشاهده شده است. [۱۷-۱۱,۹,۱]

از این به بعد جهت بررسی مسئله، مقادیر مربوط به خصوصیات ماده در دووجه فلز و سرامیک تیر مدرج هدفمند، همان‌گونه که در جدول ۲ ارائه شده، استفاده شده است. همچنین $\lambda = \omega \frac{L}{h} \sqrt{\frac{\rho_m}{E_m}}$ به صورت $\lambda = \omega \frac{L}{h} \sqrt{\rho_m E_m}$ در نظر گرفته شده است. در جدول‌های ۳ الی ۵، بسامدهای بی بعد شده‌ی تیرهای مدرج هدفمند با شرایط مرزی مختلف به ازاء مقادیر مختلف پارامترهای بی بعد شده‌ی بستر ارجاعی و نسبت‌های مختلف طول به ضخامت ارائه شده است.

همان‌گونه که در جدول ۳ قابل مشاهده است، با افزایش مقادیر بی بعد شده‌ی پارامترهای بستر ارجاعی، مقادیر بسامد بی بعد شده افزایش یافته است. همچنین با افزایش مقادار پارامتر لایه‌ی خطی، مقادار لایه‌ی برشی تأثیر چندانی در بسامد بی بعد شده‌ی تیر مدرج موردنظر ندارد. همان‌گونه که از جدول ۴ مشاهده می‌شود، نسبت به جدول ۳، با افزایش میزان گیرداری تیر مدرج هدفمند مقادیر بسامد بی بعد شده افزایش یافته است.

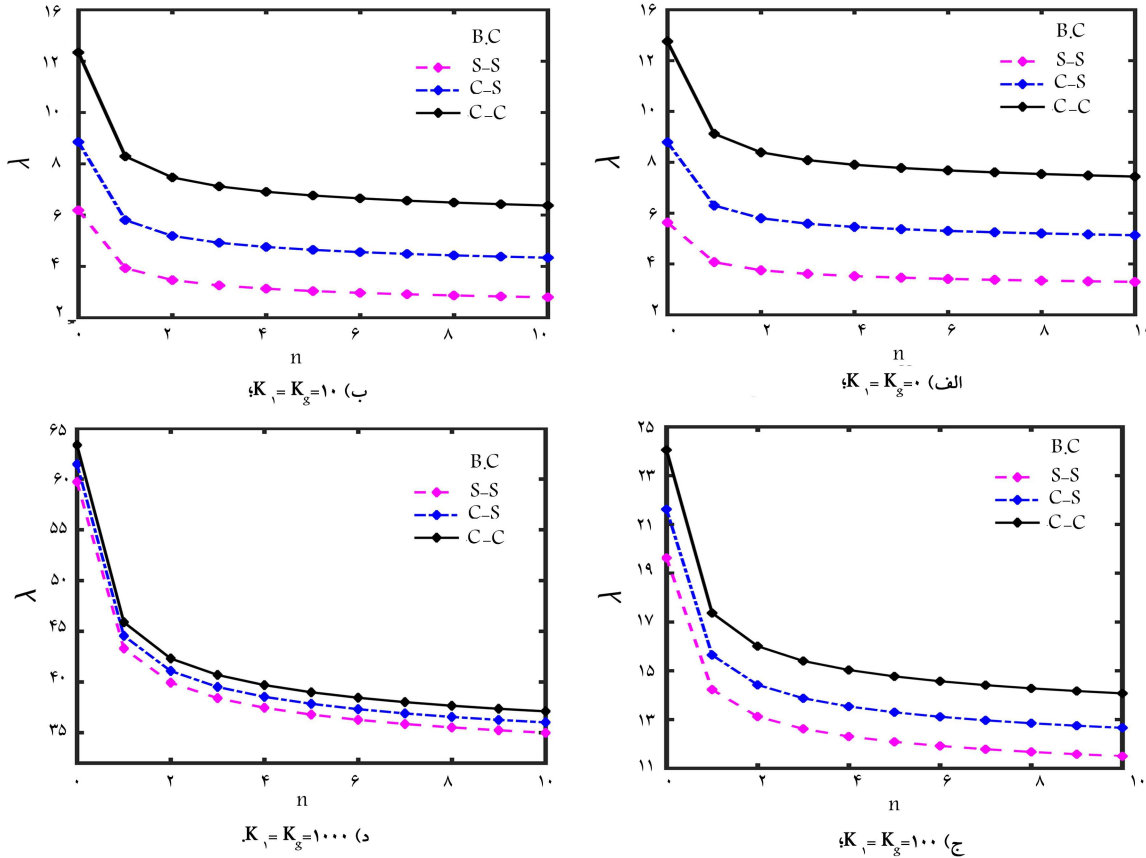
در جدول ۵، بسامدهای بی بعد شده‌ی تیر مدرج هدفمند دو سرگیردار به ازاء پارامترهای بی بعد شده و نسبت‌های طول به ضخامت مشاهده می‌شود، که مطابق آن با افزایش میزان گیرداری تیر در حالت دو سرگیردار نسبت به دو حالت دو سر ساده و یک سر ساده - یک سرگیردار، مقادیر بسا مد به دست آمده افزایش یافته است.

جدول ۱. همگرایی بسامد بی بعد شده ($\lambda = \sqrt{\frac{\rho \omega^2 A L^4}{h^2 EI}}$) به دست آمده تیر مدرج هدفمند دو سر ساده به ازاء $n = 1$ و $K_1 = 10^{\circ}$.

ینگ و همکاران [۸]	N_x			K_g
	۱۹	۱۱	۷	
۳,۱۰۰۵	۳,۲۱۹۳	۳,۲۱۹۳	۳,۲۱۹۸	۰
۳,۲۸۰۴	۳,۳۴۲۹	۳,۳۴۲۹	۳,۳۴۳۴	۱۰
۳,۵۰۳۰	۳,۵۰۶۰	۳,۵۰۶۰	۳,۵۰۶۴	۲۵

جدول ۲. خصوصیات مواد مدرج هدفمند مورد استفاده در پژوهش حاضر در وجود مختلف تیر مدرج هدفمند. [۱۶]

خصوصیت سرامیک	فلز واحد	واحد	خصوصیت سرامیک
۳۹۰	۲۱۰	Gpa	E
۳۹۶۰	۷۸۰۰	kg/m³	ρ
۰,۲۵	۰,۳۱	-	ν



شکل ۲. تأثیر ضریب کسر حجمی در بسامد بی بعد شده‌ی تیرهای مدرج هدفمند به ازاء شرایط مرزی و پارامترهای بستر ارجاعی مختلف $L/h = 100$.

جدول ۷. بسامد بی بعد شده‌ی تیر مدرج هدفمند یک سرگیردار و یک سر ساده به ازاء پارامترهای مختلف بستر ارجاعی و نسبت‌های طول به ضخامت ($n = 3$).

L/h				K_g	K_1
	۱۰۰	۵۰	۱۰		
۶,۲۹۸۲	۶,۲۹۰۷	۶,۰۶۵۱	۰	۰	
۶,۴۳۲۵	۶,۴۲۵۱	۶,۲۰۲۳	۱۰		
۷,۵۳۲۸	۷,۵۲۷۳	۷,۳۰۰۳	۱۰۲		
۱۵,۰۸۴۴	۱۵,۰۷۳۰	۱۴,۷۶۰۹	۰	۱۰۲	
۱۵,۱۴۰۹	۱۵,۱۲۹۵	۱۴,۸۲۳۲	۱۰		
۱۵,۶۴۰۶	۱۵,۶۲۹۵	۱۵,۳۲۹۵	۱۰۲		
۱۳۱,۰۸۹۹	۱۳۰,۸۲۴۰	۱۲۹,۶۳۴۸	۰	۱۰۴	
۱۳۱,۰۹۶۴	۱۳۰,۸۳۰۵	۱۲۹,۶۴۱۳	۱۰		
۱۳۱,۱۵۵۰	۱۳۰,۸۸۹۳	۱۲۹,۷۰۰۰	۱۰۲		

جدول ۶. بسامد بی بعد شده‌ی تیر مدرج هدفمند دو سرگیردار به ازاء پارامترهای مختلف بستر ارجاعی و نسبت‌های طول به ضخامت ($n = 3$).

L/h				K_g	K_1
	۱۰۰	۵۰	۱۰		
۴,۰۶۹۲	۴,۰۶۷۱	۴,۰۰۲۶	۰	۰	
۴,۲۷۴۰	۴,۲۷۲۰	۴,۲۰۹۱	۱۰		
۵,۸۰۰۸	۵,۷۹۹۰	۵,۷۴۲۹	۱۰۲		
۱۳,۶۱۰۴	۱۳,۶۰۸۲	۱۳,۵۴۲۸	۰	۱۰۲	
۱۳,۶۷۳۰	۱۳,۶۷۰۹	۱۳,۶۰۵۳	۱۰		
۱۴,۲۲۴۴	۱۴,۲۲۲۲	۱۴,۱۵۵۱	۱۰۲		
۱۲۹,۹۴۲۰	۱۲۹,۹۲۵۹	۱۲۹,۳۰۸۱	۰	۱۰۴	
۱۲۹,۹۴۸۵	۱۲۹,۹۲۲۵	۱۲۹,۳۱۴۶	۱۰		
۱۳۰,۰۰۷۷	۱۲۹,۹۹۱۶	۱۲۹,۳۷۳۳	۱۰۲		

در تغییرات بسامد به دست آمده ندارد. همچنین در سه جدول اشاره شده، با افزایش نسبت طول به ضخامت، مقدار بسامد بی بعد شده نیز افزایش یافته است. مطابق جدول های ۳ الی ۸ مشخص است که ضریب کسر حجمی در بسامد های اندازه‌گیری شده اثربخش است. لذا در شکل ۲، به ازاء پارامترهای بستر ارجاعی بی بعد شده و شرایط مرزی مختلف، اثر ضریب کسر حجمی در بسامد بی بعد به دست آمده ترسیم شده است.

همان‌گونه که در شکل ۲ مشاهده می‌شود، با افزایش شرایط گیرداری تیر مدرج

در جدول های ۶ الی ۸، بسامد های بی بعد شده‌ی تیرهای مدرج هدفمند با شرایط مرزی مختلف به ازاء مقادیر مختلف پارامترهای بی بعد شده‌ی بستر ارجاعی و نسبت‌های مختلف طول به ضخامت ارائه شده‌اند. تفاوت سه جدول مذکور با جدول های قبلی در مقدار ضریب کسر حجمی است. نتایج به دست آمده از جدول های اخیر همانند نتایج قبلی به دست آمده، نشان‌دهنده این موضوع است که با افزایش میزان گیرداری تیر، مقدار بسامد بی بعد شده افزایش می‌یابد. همچنین با افزایش میزان پارامتر خطی بستر ارجاعی، تغییرات لایه‌ی برپی بستر، اثر چندانی

اندازه‌گیری شده افزایش یافته است. اما با افزایش میزان پارامترهای بستر ارتجاعی بی‌بعد شده، تفاوت بسامد های اندازه‌گیری شده به ازاء ضربی کاهش کسری یکسان کاهش یافته است، که این موضوع می‌تواند به دلیل افزایش سختی تیر واقع در بستر ارتجاعی دو پارامتری مورد نظر باشد.

۵. نتیجه‌گیری

در نوشتار حاضر، ارتعاش آزاد تیرهای مدرج هدفمند بر بستر ارتجاعی دوپارامتری بررسی شده است. معادله‌های حاکم بر ارتعاش تیرهای مدرج هدفمند با استفاده از نظریه‌ی برشی مرتبه‌ی اول به دست آمده و با استفاده از روش عددی شبیه‌سازی دیفرانسیل کوادریچر در بعد مکان تجزیه شده‌اند. سپس معادله‌ها از بُعد زمان به بعد بسامد انتقال و بسامد تیر موردنظر محاسبه شده است. همگرایی و دقت روش مورد استفاده در حل مسئله مشخص و آثار پارامترهای مختلف، همچون: شرایط مرزی، نسبت طول به ارتفاع، ضربی کاهش حجمی و پارامترهای بستر ارتجاعی در ارتعاش آزاد تیرهای مدرج هدفمند بررسی شده است. همچنین می‌توان نتیجه گرفت که بستر ارتجاعی، تأثیر قابل توجهی در بسامد تیرهای مدرج هدفمند دارد.

جدول ۸. بسامد بی‌بعد شده تیر مدرج هدفمند دو سرگیردار به ازاء پارامترهای مختلف بستر ارتجاعی و نسبت‌های طول به ضخامت ($n = 3$).

L/h	K_g		K_1
	۱۰۰	۵۰	۱۰
۹/۱۱۹۷	۹/۱۰۱۰	۸/۵۶۰۷	۰
۹/۲۱۲۹	۹/۱۹۴۴	۸/۶۵۹۲	۱۰
۱۰/۰۱۳۰	۹/۹۹۵۷	۹/۴۹۹۶	۱۰۲
۱۶/۸۶۷۳	۱۶/۸۴۱۷	۱۶/۱۸۰۹	۰
۱۶/۹۱۷۸	۱۶/۸۹۲۳	۱۶/۲۳۳۳	۱۰
۱۷/۳۶۶۵	۱۷/۳۴۱۵	۱۶/۶۹۷۱	۱۰۲
۱۳۲/۲۶۰۶	۱۳۱/۷۳۵۳	۱۲۹/۹۶۵۳	۰
۱۳۲/۲۶۷۰	۱۳۱/۷۴۱۸	۱۲۹/۹۷۱۸	۱۰
۱۳۲/۳۲۵۱	۱۳۱/۸۰۰۲	۱۳۰/۰۳۰۵	۱۰۲

هدفمند از دو سر ساده به یک سر ساده - یک سرگیردار و درنهایت به دو سرگیردار مقدار بسامد بی‌بعد اندازه‌گیری شده افزایش یافته است. همچنین با افزایش میزان پارامترهای بی‌بعد شده بستر ارتجاعی تیر مدرج هدفمند، میزان بسامد های بی‌بعد

پانوشت‌ها

1. Simsek & Kocatürk
2. Pradhan & Chakraverty
3. Su & Banerjee
4. Lü
5. Wattanasakulpong
6. Ying

منابع (References)

1. Vosoughi, A.R. "Thermal buckling analysis of functionally graded beams using differential quadrature method", *Civil Eng. Sharif*, **31-2**(2-4), pp. 127-132 (2015).
2. Simsek, M. and Kocatürk, T. "Free and forced vibration of a functionally graded beam subjected to a concentrated moving harmonic load", *Compos. Struct.*, **90**(4), pp. 465-473 (2009).
3. Pradhan, K.K. and Chakraverty, S. "Free vibration of euler and timoshenko functionally graded beams by rayleigh-ritz method", *Compos. Part B Eng.*, **51**, pp. 175-184 (2013).
4. Su, H. and Banerjee, J.R. "Development of dynamic stiffness method for free vibration of functionally graded Timoshenko beams", *Comput. Struct.*, **147**, pp. 107-116 (2015).
5. Lü, C.F., Chen, W.Q., Xu, R.Q. and et al. "Semi-analytical elasticity solutions for bi-directional functionally graded beams", *Int. J. Solids Struct.*, **45**(1), pp. 258-275 (2008).
6. Sina S.A., Navazi, H.M. and Haddadpour, H. "An analytical method for free vibration analysis of functionally graded beams", *Mater. Des.*, **30**(3), pp. 741-747 (2009).
7. Wattanasakulpong, N., Prusty, B.G., Kelly, D.W. and et al. "Free vibration analysis of layered functionally graded beams with experimental validation", *Mater. Des.*, **36**, pp. 182-190 (2012).
8. Ying, J., Lü, C.F. and Chen, W.Q. "Two-dimensional elasticity solutions for functionally graded beams resting on elastic foundations", *Compos. Struct.*, **84**(3), pp. 209-219 (2008).
9. Vosoughi, A.R. "Thermal postbuckling analysis of functionally graded Beams", *J. Therm. Stress*, **37**(4), pp. 532-544 (2014).
10. Yang, L. and Zhifei, S. "Free vibration of a functionally graded piezoelectric beam via state-space based differential quadrature", *Compos. Struct.*, **87**, pp. 257-264 (2009).
11. Malekzadeh, P. and Vosoughi, A.R. "DQM large amplitude vibration of composite beams on nonlinear elastic foundations with restrained edges", *Commun. Nonlinear Sci. Numer. Simul.*, **14**(3), pp. 906-915 (2009).
12. Wang, X., Liang, X. and Jin, C. "Accurate dynamic analysis of functionally graded beams under a moving point load", *Mech. Base. Des. Struct. Mach.*, **45**(1), pp. 76-91 (2017).
13. Vosoughi, A.R., Malekzadeh, P. and Roosta, H.R. "A hybrid numerical method for trade-off optimal relation between mass and fundamental natural frequency of moderately thick laminated composite beams", *Mater. Today Commun.*, **16**, pp. 42-55 (2018).

14. Darabi, A. and Vosoughi, A.R. "A hybrid inverse method for small scale parameter estimation of FG nanobeams", *Steel Compos. Struct.*, **20**(5), pp. 1119-1131 (2016).
15. Khalili, A. and Vosoughi, A.R. "An approach for the Pasternak elastic foundation parameters estimation of beams using simulated frequencies", *Inv. Prob. Sci. Eng.*, **26**(8), pp. 1079-1093 (2018).
16. Khalili, A. "Elastic foundation parameters estimation of functionally graded beams using measured frequencies", M.Sc. Thesis, Shiraz University (2015).
17. Vosoughi, A.R., Anjabin, N. and Amiri, S.M. "Thermal post-buckling analysis of moderately thick nanobeams", *IJST, Transac. Civil Eng.*, **42**(1), pp. 33-38 (2018).